

# KARAKTERISASI KERAMIK CuFe<sub>2</sub>O<sub>4</sub> UNTUK TERMISTOR NTC

Wiendartun<sup>1)</sup>, Dani Gustaman Syarif<sup>2)</sup>, Endi Suhendi<sup>1)</sup>,  
Andhy Setiawan<sup>1)</sup>, Guntur D.S.<sup>2)</sup>

<sup>1)</sup> Jurusan Fisika FMIPA UPI, Jl.Dr Setiabudhi 229 Bandung, email: wien@upi.edu

<sup>2)</sup> PTNBR BATAN, Jl.Tamansari 71 Bandung, email: danigustas@batan-bdg.go.id

## Abstrak

**Karakterisasi Keramik CuFe<sub>2</sub>O<sub>4</sub> Untuk Termistor NTC.** Telah dilakukan pembuatan keramik CuFe<sub>2</sub>O<sub>4</sub> untuk termistor negative thermal coefficient (NTC) dengan menggunakan Fe<sub>2</sub>O<sub>3</sub> dari impor (aldrich). Keramik ini dibuat dengan cara mengepres serbuk bahan campuran homogen dari CuO dan Fe<sub>2</sub>O<sub>3</sub> dengan komposisi yang sesuai untuk menghasilkan keramik berbasis CuFe<sub>2</sub>O<sub>4</sub>, lalu mengpres serbuk campuran dengan tekanan 4 ton/cm<sup>2</sup> dan menyinter pelet hasil press pada suhu 900-1100 °C selama 1-5 jam di dalam atmosfir udara tungku dan di dalam atmosfir gas nitrogen (N<sub>2</sub>). Pelet hasil sinter dipotret untuk mengetahui penampilan visualnya. Karakterisasi listrik dilakukan dengan cara mengukur resistivitas listrik keramik tersebut pada suhu bervariasi ( 25°C-100°C). Analisis struktur mikro dan struktur kristal dilakukan masing-masing dengan menggunakan mikroskop elektron (SEM) dan difraktometer sinar-x (XRD). Dari penampilan visualnya, pelet sinter CuFe<sub>2</sub>O<sub>4</sub> dapat dibuat dengan baik pada suhu sinter 900-1100°C. Data struktur mikro memperlihatkan bahwa pada keramik CuFe<sub>2</sub>O<sub>4</sub> yang disinter di udara, pengaruh suhu sinter terhadap ukuran butir tidak terlihat dengan jelas sementara pada keramik yang disinter di dalam gas N<sub>2</sub> terlihat lebih jelas. Analisis XRD memperlihatkan bahwa keramik CuFe<sub>2</sub>O<sub>4</sub> yang disinter baik di atmosfer udara maupun atmosfir N<sub>2</sub> mempunyai struktur kristal spinel tetragonal. Pada keramik CuFe<sub>2</sub>O<sub>4</sub> yang disinter pada suhu 1000 °C di dalam gas N<sub>2</sub> dijumpai fase kedua. Berdasarkan data karakteristik listriknya terlihat bahwa keramik berbasis CuFe<sub>2</sub>O<sub>4</sub> yang dibuat mempunyai karakteristik listrik yang baik. Harga konstanta termistor ( B = 2703- 3725 K) dan resistivitas listrik suhu ruang (  $\rho_{RT}$  = 351Ωcm -1.263.758 Ωcm) keramik CuFe<sub>2</sub>O<sub>4</sub> yang dibuat pada penelitian ini memenuhi kebutuhan pasar.

**Kata Kunci :** Termistor, NTC, CuFe<sub>2</sub>O<sub>4</sub>

## Abstract

**Characterization of CuFe<sub>2</sub>O<sub>4</sub> Ceramics for NTC Thermistor.** Fabrication of CuFe<sub>2</sub>O<sub>4</sub> ceramics for negative thermal coefficient (NTC) thermistor by using imported Fe<sub>2</sub>O<sub>3</sub> (Aldrich) has been carried out. Synthesis was done by pressing a homogeneous mixture of CuO and Fe<sub>2</sub>O<sub>3</sub> with composition appropriate for producing CuFe<sub>2</sub>O<sub>4</sub>-based ceramics with pressure of 4 ton/cm<sup>2</sup>, and sintering the pressed powder at temperature of 900-1100°C for 1-5 hours in furnace air and N<sub>2</sub> gas. Pictures of sintered pellets were taken to know their visual appearance. Electrical characteristics were analyzed by measuring electrical resistivity of the ceramics at various temperatures (25-100°C). Microstructure and crystal structure analyses were carried out using an electron microscope (SEM) and x-ray diffraction (XRD). From the visual

appearance, it was known that the CuFe<sub>2</sub>O<sub>4</sub> ceramics could be well fabricated at 900-1100°C. Microstructure data showed that for ceramics sintered in air, the effect of sintering temperature was not seen clearly while for that sintered in N<sub>2</sub> gas, it was clearly seen. The XRD analyses showed that CuFe<sub>2</sub>O<sub>4</sub> ceramics sintered either in air atmosphere or in N<sub>2</sub> atmosphere had tetragonal crystal structure. Second phase was found in the CuFe<sub>2</sub>O<sub>4</sub> ceramic sintered at 1000 °C in N<sub>2</sub> gas. Based on the electrical data, the ceramics fabricated in this research had good electrical characteristics. The value of thermistor constant (B = 2703- 3725 K) and room temperature resistivity (ρ<sub>RT</sub> = 351Ωcm -1.263.758 Ωcm) of the CuFe<sub>2</sub>O<sub>4</sub> ceramics made in this work fit the market requirement.

**Key words :** Thermistor, NTC, CuFe<sub>2</sub>O<sub>4</sub>.

## I. PENDAHULUAN

Termistor NTC sudah sangat luas digunakan di dunia, karena kemampuannya untuk digunakan di berbagai bidang elektronik seperti pengukur suhu, pembatas arus listrik, sensor aliran air dan sensor tekanan[1]. Telah dikenal bahwa sebagian besar termistor NTC dibuat dari keramik berstruktur spinel yang dibentuk oleh kisida logam transisi dengan rumus umum AB<sub>2</sub>O<sub>4</sub> dengan A adalah ion logam pada posisi tetrahedral dan B adalah ion logam pada posisi octahedral [2-10]. Banyak penelitian dilakukan untuk memperbaiki karakteristik termistor NTC berstruktur spinel [6,7,11]. Pada penelitian ini dipelajari pengaruh penambahan Al<sub>2</sub>O<sub>3</sub> terhadap karakteristik spinel keramik CuFe<sub>2</sub>O<sub>4</sub> yang bahan Fe<sub>2</sub>O<sub>3</sub> nya berasal dari mineral yarosit. Sejauh ini studi seperti ini belum dipublikasikan sebelumnya. Penggunaan Fe<sub>2</sub>O<sub>3</sub> dari yarosit dimaksudkan untuk mempelajari apakah mineral yang berlimpah di Indonesia seperti yarosit dapat dimanfaatkan sebagai bahan utama termistor.

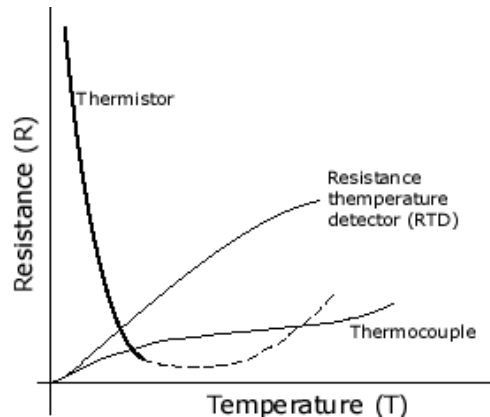
Pada umumnya, keramik CuFe<sub>2</sub>O<sub>4</sub> digunakan sebagai magnet lunak[12-15], juga sebagai katalis [16-18], tetapi sebenarnya keramik CuFe<sub>2</sub>O<sub>4</sub> mempunyai kemampuan untuk menjadi thermistor NTC karena bersifat semi konduktif. Berdasarkan diagram fase CuO-Fe<sub>2</sub>O<sub>3</sub> [19], ada suatu daerah dimana komposisi keramik CuO dan Fe<sub>2</sub>O<sub>3</sub> bila dipanaskan pada suhu 1100°C akan mempunyai sebuah struktur mikro yang berisi fase cair. Pada suhu ruang, material yang meleleh ini mungkin akan berada di batas butir. Secara teori material batas butir akan berpengaruh pada karakteristik keramik, khususnya pada karakteristik listrik. Pada saat zat aditif seperti Al<sub>2</sub>O<sub>3</sub> ditambahkan, karakteristik dari CuFe<sub>2</sub>O<sub>4</sub> akan berubah

sebab kemungkinan ada dua kondisi. Kondisi itu adalah, pertama,  $\text{Al}_2\text{O}_3$  larut padat di dalam  $\text{CuFe}_2\text{O}_4$  dengan cara mensubstitusikan ion-ion Cu ataupun ion-ion Fe, kedua,  $\text{Al}_2\text{O}_3$  tidak larut tetapi meleleh pada batas butir dan pada keadaan tertentu bereaksi dengan fase cair.

Pada saat kondisi pertama terbentuk, ketika substitusi dari  $\text{Fe}^{3+}$  dan / atau  $\text{Cu}^{2+}$  menghasilkan elektron bebas pada pita konduksi, keramik  $\text{CuFe}_2\text{O}_4$  akan mempunyai resistivitas listrik yang rendah. Sebaliknya pada saat kondisi kedua terjadi, resistivitas listriknya mungkin semakin tinggi sebab segregasi  $\text{Al}_2\text{O}_3$  akan mengubah struktur mikronya. Penelitian ini dilakukan untuk mengetahui karakteristik keramik  $\text{CuFe}_2\text{O}_4$  yang ditambah  $\text{Al}_2\text{O}_3$  dengan  $\text{Fe}_2\text{O}_3$  berasal dari yarosit sebagai termistor NTC, khususnya karakteristik listrik berdasarkan pada hipotesis yang disebutkan di atas.

## 2. TINJAUAN PUSTAKA

Termistor NTC mempunyai karakteristik yang khas seperti dapat dilihat pada Gambar 1 di bawah ini :



Gambar 1. Grafik hubungan antara suhu (T) dan resistivitas listrik (R) untuk termistor NTC dan sensor lainnya.

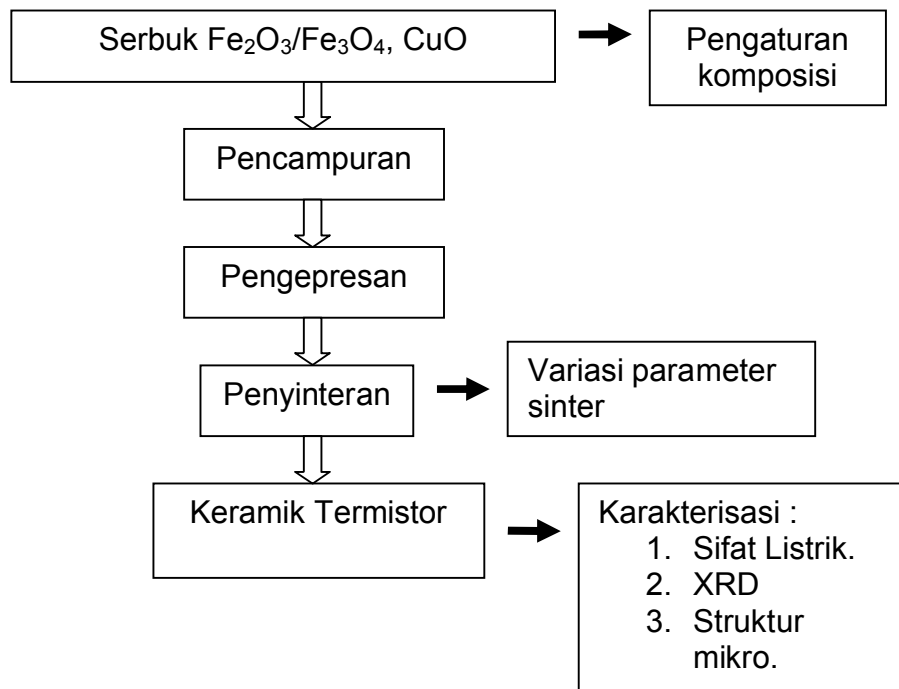
Tahanan termistor NTC akan berkurang secara eksponensial, jika suhunya bertambah. Hubungan antara tahanan dan suhu termistor diekspresikan pada persamaan (1) [2-11].

$$R = R_0 \cdot \text{Eksp.}\left(\frac{B}{T}\right) \dots \dots \dots (1)$$



38  $\mu\text{m}$ . Serbuk hasil ayakan dipres dengan tekanan 4 ton/cm<sup>2</sup> sehingga membentuk pelet mentah. Pelet mentah kemudian disinter pada suhu 900-1100°C selama 2 jam di dalam atmosfir udara dan gas N<sub>2</sub>. Pelet hasil sinter dipotret untuk mengetahui penampilan visualnya.

Untuk mengetahui struktur kristal dan fase-fase yang terjadi, pelet hasil sinter dianalisis dengan difraksi sinar-x (XRD) dengan menggunakan radiasi K $\alpha$  pada tegangan 40 kV dan arus 25 mA dan untuk mengetahui struktur mikronya pelet sinter dipotret menggunakan mikroskop electrón (SEM). Karakterisasi listrik dilakukan setelah kedua sisi pelet hasil sinter dilapisi dengan pasta konduktif perak atau larutan perak koloid dan dipanaskan pada suhu 600°C selama 10 menit Karakterisasi listrik dilakukan melalui pengukuran resistivitas listrik pada berbagai suhu dari suhu ruang hingga 100°C dengan interval 5°C. Secara keseluruhan proses pembuatan keramik berbasis CuFe<sub>2</sub>O<sub>4</sub> diperlihatkan pada Gambar 2.



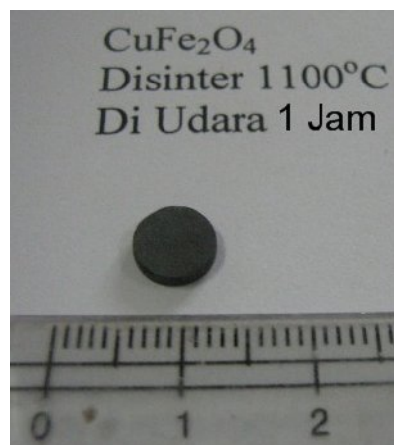
Gambar 2. Diagram alir proses penelitian (Dengan Fe<sub>2</sub>O<sub>3</sub> hasil impor).

## **4. HASIL DAN PEMBAHASAN**

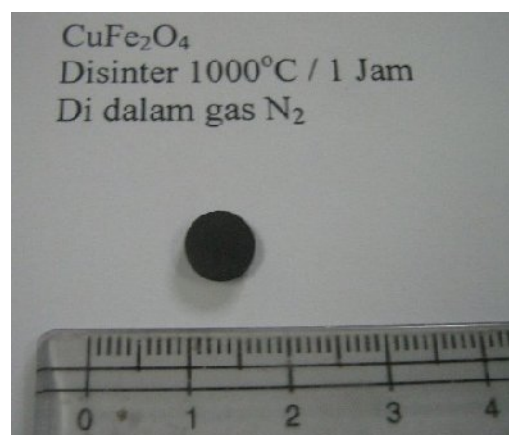
### **4.1 HASIL**

Penampilan visual keramik  $\text{CuFe}_2\text{O}_4$  berbentuk pelet hasil sinter diperlihatkan pada Gambar 3 dan 4. Hasil analisis XRD diperlihatkan pada Gambar 5, 6, 7 dan 8. Contoh struktur mikro diperlihatkan pada Gambar 9, 10, 11 dan 12. Sementara hasil karakterisasi listrik diperlihatkan pada Tabel 1.

#### **4.1.1. Penampilan Visual**

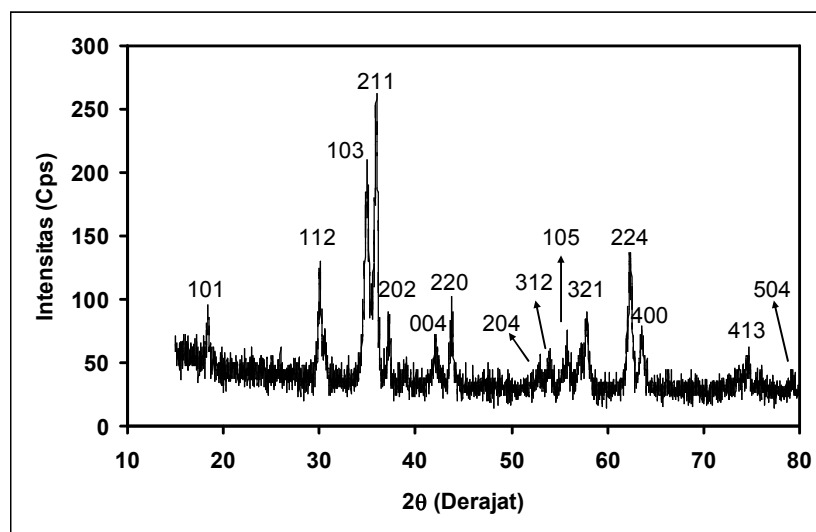


Gambar 3. Bentuk visual contoh pelet  $\text{CuFe}_2\text{O}_4$  disinter pada suhu  $1100^\circ\text{C}$  di udara.

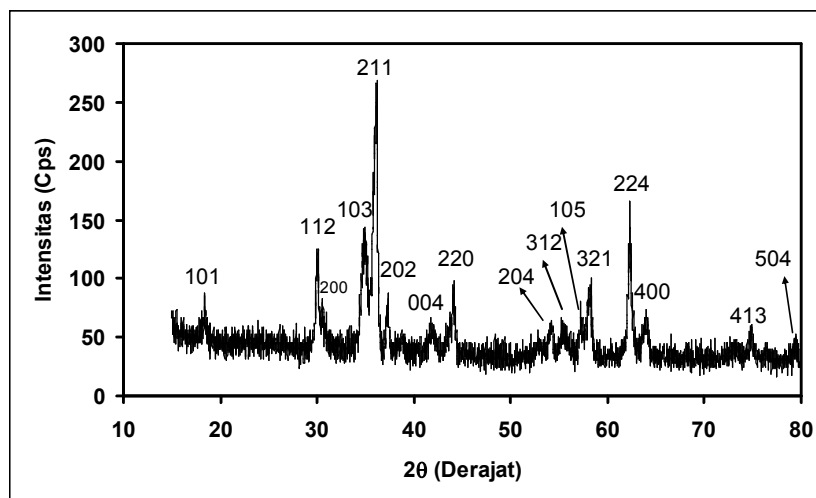


Gambar 4. Bentuk visual contoh pelet  $\text{CuFe}_2\text{O}_4$  disinter pada suhu  $1000^\circ\text{C}$  di dalam gas  $\text{N}_2$ .

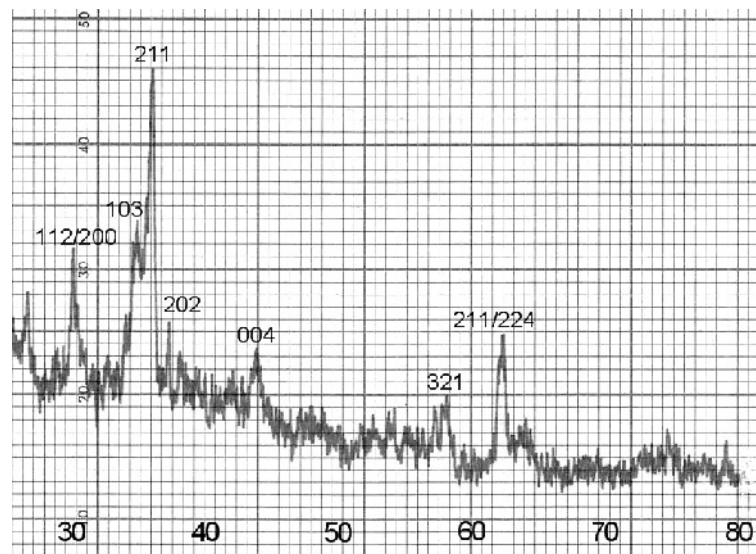
#### 4.1.2 Data XRD keramik CuFe<sub>2</sub>O<sub>4</sub>



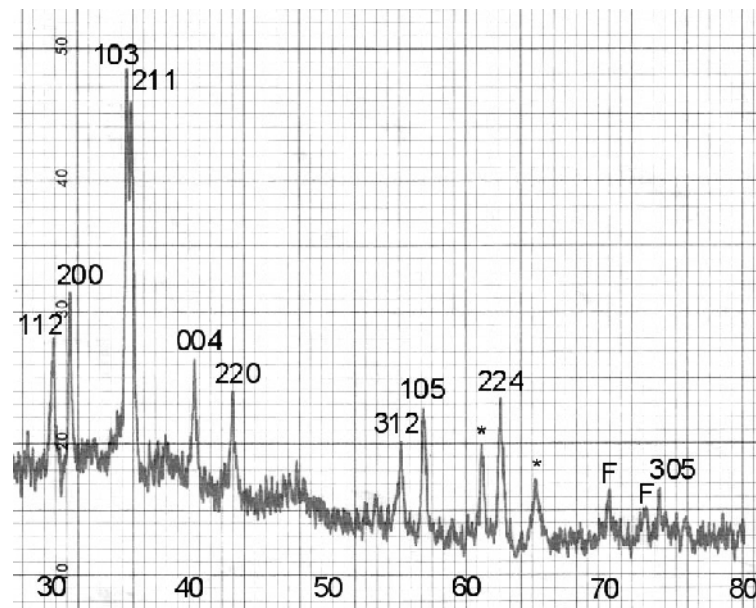
Gambar 5. Pola difraksi sinar-x keramik CuFe<sub>2</sub>O<sub>4</sub> disinter pada suhu 1000°C di udara.



Gambar 6. Pola difraksi sinar-x keramik CuFe<sub>2</sub>O<sub>4</sub> disinter pada suhu 1100°C di udara.

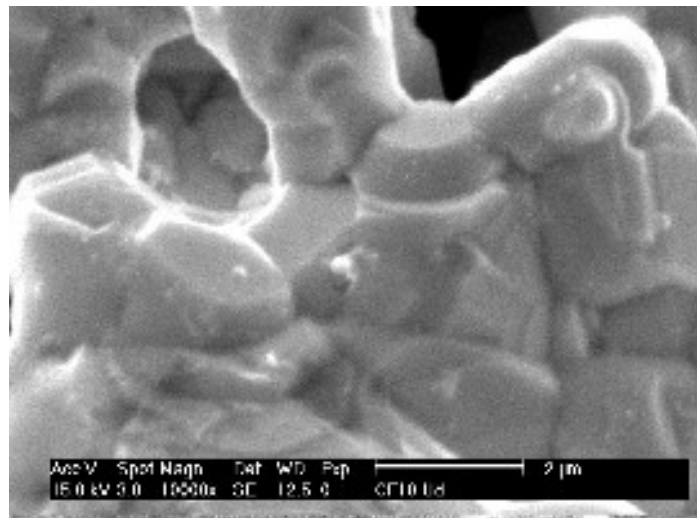


Gambar 7. Pola difraksi sinar-x keramik  $\text{CuFe}_2\text{O}_4$  disinter pada suhu  $900^\circ\text{C}$  di dalam gas  $\text{N}_2$ .

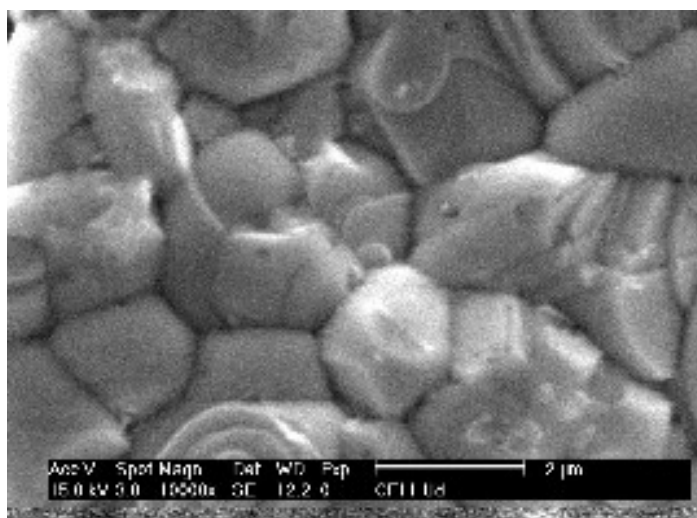


Gambar 8. Pola difraksi sinar-x keramik  $\text{CuFe}_2\text{O}_4$  disinter pada suhu  $1000^\circ\text{C}$  di dalam gas  $\text{N}_2$ .

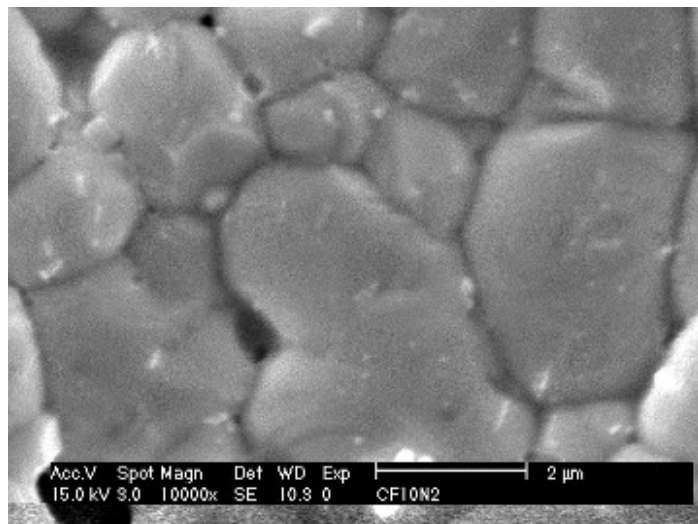
#### 4.1.3 Data Struktur Mikro keramik CuFe<sub>2</sub>O<sub>4</sub>



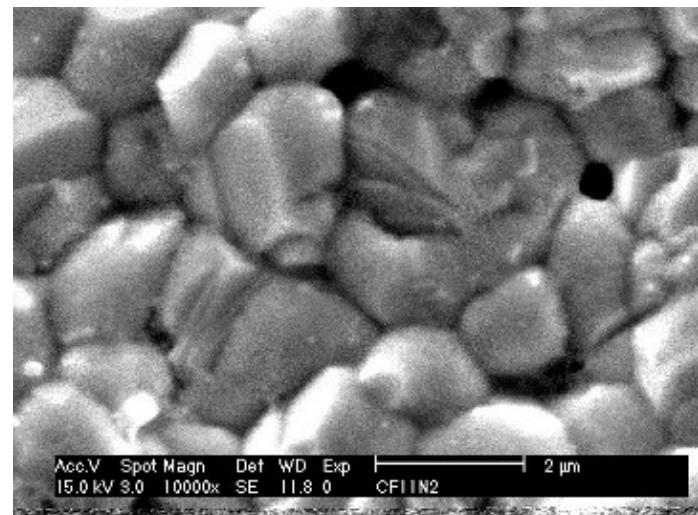
Gambar 9. Struktur mikro keramik CuFe<sub>2</sub>O<sub>4</sub> disinter pada suhu 1000°C selama 1 Jam di udara.



Gambar 10. Struktur mikro keramik CuFe<sub>2</sub>O<sub>4</sub> disinter pada suhu 1100°C selama 1 Jam di udara.



Gambar 11. Struktur mikro keramik CuFe<sub>2</sub>O<sub>4</sub> disinter pada suhu 1000°C selama 1 Jam di dalam gas N<sub>2</sub>.



Gambar 12. Struktur mikro keramik CuFe<sub>2</sub>O<sub>4</sub> disinter pada suhu 1100°C selama 1 Jam di dalam gas N<sub>2</sub>.

#### 4.1.4 Data Karakteristik Listrik Keramik CuFe<sub>2</sub>O<sub>4</sub>

Tabel 1. Data karakteristik listrik keramik CuFe<sub>2</sub>O<sub>4</sub>.

No.	Suhu/Waktu oC/Jam	Atmosfir	B (K)	$\alpha$ (%/K)	Ro (Ohm-cm)
1.	900/1	Udara	3725	4,14	812632
2.	1000/1	Udara	2703	3,00	11573
3.	1100/1	Udara	2749	3,05	351
4.	1100/3	Udara	2926	3,25	679
5.	1000/1	N <sub>2</sub>	3231	3,59	1263758

Catatan :SR = Suhu ruang (300K).

#### 4.2. PEMBAHASAN

Gambar 5 dan 6 memperlihatkan bahwa pelet keramik CuFe<sub>2</sub>O<sub>4</sub> telah berhasil dibuat dengan baik dengan penyinteran baik di dalam atmosfir udara tungku maupun di dalam atmosfir gas N<sub>2</sub>. Data XRD Gambar 7 dan 8 memperlihatkan bahwa CuFe<sub>2</sub>O<sub>4</sub> yang disinter di udara mempunyai struktur kristal spinel tetragonal. Data yang berbeda diperlihatkan oleh keramik yang disinter di dalam gas N<sub>2</sub>. Pada suhu 900°C, pelet CuFe<sub>2</sub>O<sub>4</sub> masih berstruktur tetragonal tetapi pada suhu lebih tinggi yaitu 1000°C, penyinteran di dalam gas N<sub>2</sub> menyebabkan perubahan fase-fase di dalam keramik CuFe<sub>2</sub>O<sub>4</sub>. Meski fase utama masih CuFe<sub>2</sub>O<sub>4</sub> tetragonal tetapi terdapat pula fase lain yaitu Fe<sub>2</sub>O<sub>3</sub> dan fase yang belum diketahui (\*). Hal ini terjadi karena penyinteran di dalam gas N<sub>2</sub> mengalami kekurangan oksigen yang menyebabkan sintesis CuFe<sub>2</sub>O<sub>4</sub> berlangsung kurang sempurna.

Pada keramik CuFe<sub>2</sub>O<sub>4</sub> yang disinter di udara, pengaruh suhu sinter terhadap ukuran butir tidak terlihat dengan jelas sementara pada keramik yang disinter di dalam gas N<sub>2</sub> terlihat lebih jelas seperti dapat dilihat pada data struktur mikro. Pengecilan ukuran butir disebabkan oleh kehadiran fase kedua.

Pengaruh suhu sinter terhadap resistivitas listrik keramik yang disinter di udara tampak sangat jelas. Resistivitas listrik menurun dengan pertambahan suhu sinter. Ini disebabkan oleh meningkatnya mobilitas ion pada suhu lebih tinggi selama penyinteran yang menghasilkan keramik dengan jumlah batas butir yang lebih

sedikit. Batas butir yang sedikit memiliki *scattering center* untuk pembawa muatan yang sedikit pula.

Gas nitrogen telah menyebabkan peningkatan resistivitas listrik keramik CuFe<sub>2</sub>O<sub>4</sub>. Hal ini disebabkan oleh adanya fase kedua yang menyebabkan banyaknya sumber *scattering center* pembawa muatan. Harga konstanta termistor (B) keramik CuFe<sub>2</sub>O<sub>4</sub> sangat baik yaitu berharga antara 2703-3725K, jauh lebih besar dari pada harga B kebutuhan pasar (2000K). Umumnya resistivitas listrik keramik yang dibuat pada penelitian ini juga berada di dalam selang harga kebutuhan pasar.

## 5. KESIMPULAN

Keramik berbasis CuFe<sub>2</sub>O<sub>4</sub> untuk termistor NTC dengan menggunakan bahan dasar Fe<sub>2</sub>O<sub>3</sub> yang berasal dari impor dapat dibuat dengan baik pada suhu 900-1100°C. Peningkatan suhu penyinteran dan bertambahnya waktu penyinteran menyebabkan penurunan resistivitas listrik dan konstanta termistor (B). Data XRD memperlihatkan bahwa CuFe<sub>2</sub>O<sub>4</sub> yang disinter di dalam atmosfer udara dan gas N<sub>2</sub> mempunyai struktur kristal spinel tetragonal. Pada keramik yang disinter di dalam gas N<sub>2</sub> pada suhu 1000°C dijumpai adanya fase kedua sebagai tanda bahwa penyinteran pada suhu ini mengalami kekurangan oksigen. Pada keramik CuFe<sub>2</sub>O<sub>4</sub> yang disinter di udara, pengaruh suhu sinter terhadap ukuran butir tidak terlihat dengan jelas, sementara pada keramik yang disinter di dalam gas N<sub>2</sub> terlihat lebih jelas. Penyinteran keramik CuFe<sub>2</sub>O<sub>4</sub> di dalam gas nitrogen (N<sub>2</sub>) menyebabkan perubahan fase-fase yang ada di dalam keramik CuFe<sub>2</sub>O<sub>4</sub> dan peningkatan resistivitas listrik keramik tersebut. Berdasarkan data listriknya terlihat bahwa keramik berbasis CuFe<sub>2</sub>O<sub>4</sub> yang dibuat mempunyai karakteristik listrik yang baik dengan harga konstanta termistor (B = 2703-3725 K) dan resistivitas listrik suhu ruang ( $\rho_{RT}$  = 351 Ωcm – 1.263.758 Ωcm). Harga-harga B dan  $\rho_{RT}$  ini memenuhi kebutuhan pasar ( B ≥ 2000 K dan  $\rho_{RT}$  = 10Ωcm -10<sup>6</sup> Ωcm). Suhu sinter yang dikombinasi dengan waktu sinter dan atmosfer sinter dapat digunakan untuk mengatur karakteristik listrik keramik CuFe<sub>2</sub>O<sub>4</sub> sesuai kebutuhan.

## UCAPAN TERIMA KASIH

Tim peneliti mengucapkan terimakasih kepada semua pihak yang telah memberi bantuan dalam kegiatan penelitian dan penulisan artikel ini. Penelitian ini

didanai oleh Hibah Penelitian Kerjasama Antar Perguruan Tinggi (Pekerti) dengan Kontrak Nomor: 032/SP2H/PP/DP2M/III/2007, tanggal 31 Desember 2006.

## 6. DAFTAR PUSTAKA

1. Dani Gustaman Syarif, Engkir S., Guntur D.S., M. Yamin, *Studi awal pemanfaatan mineral magnetit sebagai bahan dasar termistor NTC*, Jurnal Mesin, Vol.6(3), 2004.
2. Dani Gustaman Syarif, Engkir S., Guntur D.S., Saeful H., *Karakterisasi termistor NTC yang dibuat dari serbuk hasil proses presipitasi magnetit asal Garut*, Jurnal Sains dan Teknologi Nuklir Indonesia, V(2), 2004.
3. Dani Gustaman Syarif, Guntur D.S., M. Yamin, *Studi awal pembuatan keramik termistor berbahan dasar mineral yarosit dan evaluasi karakteristiknya*, PROSIDING SEMINAR NASIONAL SAINS DAN TEKNIK NUKLIR, P3TkN – BATAN Bandung , 14 – 15 Juni 2005
4. Dani Gustaman Syarif dkk., *Aplikasi termistor ZnBiCo sebagai termistor NTC*, Jurnal Mesin , 2005.
5. Wiendartun, Dani Gustaman Syarif, Fitri Anisa, *Effect of Heat Treatment on the Characteristics of  $SiO_2$  Added-  $ZnFe_2O_4$  Ceramics for NTC thermistors*, Proceeding of the The 10<sup>th</sup> International Conference on Quality in Research (QiR), 2007, ISSN:1411-1284, Faculty of Engineering Center University of Indonesia UI DEPOK, 4-6 December 2007.
6. Wiendartun, Endi Suhandi, Andhy Setiawan, Dani Gustaman Syarif, Guntur Daru Sambodo, *Pengaruh penambahan  $Al_2O_3$  terhadap Karakteristik Keramik  $CuFe_2O_4$  Untuk Thermistor NTC*. Prosiding dengan nomor ISSN:1693-7163 pada Seminar Nasional Keramik VI (2007), Balai Besar Keramik – Bandung 11 Juli 2007.
7. Wiendartun, Endi Suhandi, Andhy Setiawan, Dani Gustaman Syarif, Guntur Daru Sambodo, *Karakteristik Keramik  $CuFe_2O_4$  dengan  $Fe_2O_3$  dari Yarosit Olahan yang ditambah  $Al_2O_3$  Untuk Thermistor NTC*. Prosiding dengan ISSN: 1658-3601, pada Seminar Nasional Sains dan Teknologi Nuklir 2007, Pusat Teknologi Nuklir Bahan dan Radiometri BATAN BANDUNG 17-18 Juli 2007.
8. Wiendartun, Dani Gustaman Syarif, *The Effect of  $TiO_2$  Addition on the Characteristics of  $CuFe_2O_4$  Ceramics for NTC Thermistors*, Proceeding of The

- International Conference on Mathematics and Natural Sciences (ICMNS 2006), ISBN : 979-3507-91-8, ITB Bandung , 29-30 November 2006.
9. Wiendartun, Dani Gustaman Syarif, *The effect of SiO<sub>2</sub> addition on the characteristics of CuFe<sub>2</sub>O<sub>4</sub> Ceramics for NTC Thermistor*, The International Conference on Neutron and X-Ray Scattering (ICNX 2007), ITB Bandung, 29-31July 2007.
  10. BetaTHERM Sensors [on line]. Available: <http://www.betatherm.com>.
  11. Eun Sang Na, Un Gyu paik, Sung Churl Choi, "The effect of a sintered microstructure on the electrical properties of a Mn-Co-Ni-O thermistor", Journal of Ceramic Processing Research, Vol.2, No. 1, pp 31-34, 2001.
  12. Yoshihiro Matsuo, Takuoki Hata, Takayuki Kuroda, "Oxide thermistor composition", US Patent 4,324,702, April 13, 1982
  13. Hyung J. Jung, Sang O. Yoon, Ki Y. Hong, Jeon K. Lee, "Metal oxide group thermistor material", US Patent 5,246,628, September 21, 1993.
  14. Kazuyuki Hamada, Hiroshi Oda, "Thermistor composition", US Patent 6,270,693, August 7, 2001.
  15. Eun Sang Na, Un Gyu paik, Sung Churl Choi, "The effect of a sintered microstructure on the electrical properties of a Mn-Co-Ni-O thermistor", Journal of Ceramic Processing Research, Vol.2, No. 1, pp 31-34, 2001.
  16. K. Park, "Microstructure and electrical properties of Ni<sub>1.0Mn<sub>2-x</sub>Zr<sub>x</sub>O<sub>4</sub></sub> (0 ≤ x ≤ 1.0) negative temperature coefficient thermistors", Materials Science and Engineering, B104, pp. 9-14, 2003.
  17. K. Park, D.Y. Bang, "Electrical properties of Ni-Mn-C0-(Fe) oxide thick film NTC thermistors", Journal of Materials Science: Materials in Electronics, Vol.14, pp. 81-87, 2003.
  18. Shopie Gulemet Fritsch, Jaouad Salmi, Joseph Sarrias, Abel Rousset, Shopie Schuurman, Andre Lannoo, "Mechanical properties of nickel manganites-based cermics used as negative temperature coefficient thermistors", Materials Research Bulletin, Vol. 39, pp. 1957-1965, 2004.
  19. R. Schmidt, A. Basu, A.W. Brinkman, , "Production of NTCR thermistor devices based on NiMn<sub>2</sub>O<sub>4+δ</sub>", Journal of The European Ceramic Society, Vol. 24, pp. 1233-1236, 2004.

20. K. Park, I.H. Han, "Effect of Al<sub>2</sub>O<sub>3</sub> addition on the microstructure and electrical properties of (Mn<sub>0.37</sub>Ni<sub>0.3</sub>Co<sub>0.33-x</sub>Al<sub>x</sub>)O<sub>4</sub> (0 ≤ x ≤ 0.03) NTC thermistors", Materials Science and Engineering, B119, pp. 55-60, 2005.
21. J.Z. Jiang, G.F. Goya, H.R. Rechenberg, "Magnetic properties of nanostructured CuFe<sub>2</sub>O<sub>4</sub>", J. Phys.: Condens. Mater, Vol.11, pp. 4063-4078, 1999.
22. G.F. Goya, H.R. Rechenberg, J.Z. Jiang, "Magnetic irreversibility and relaxation in CuFe<sub>2</sub>O<sub>4</sub>" nanoparticles, Journal of Magnetism and Magnetic Materials, Vol. 218, pp. 221-228, 2000.
23. C.R. Alves, R. Aquino, M.H. Sousa, H.R. Rechenberg, G.F. Goya, F.A. Tourinho, J. Depeyrot, "Low temperature experimental investigation of finite-size and surface effects in CuFe<sub>2</sub>O<sub>4</sub> nanoparticles of ferrofluids", Journal of Metastable and Nanocrystalline Materials Vols. 20-21, pp. 694-699, 2004.
24. Kameoka Satoshi, Tanabe Toyokazu, Tsai An, Spinel CuFe<sub>2</sub>O<sub>4</sub>:a precursor for copper catalyst with high thermal stability and activity, catalyst Letters, Vol. 100, No. 1-2, pp. 89-93, 2005.
25. W.F. Shangguan, Y. Ternaoka, S. Kagawa, "Promotion effect of potassium on the catalytic property of CuFe<sub>2</sub>O<sub>4</sub> for the simultaneous removal of NOx and diesel soot particulate", Applied catalysis Part B, Vol. 16, No.2, pp. 149-154, 1998.
26. R.C. Wu, H.H. Qu, H. He. Y.B. Yu, "Removal of azo-dye acid red B (ARB) by adsorption and catalytic combustion using magnetic CuFe<sub>2</sub>O<sub>4</sub>" powder, Applied catalysis Part B, Vol. 48, No.1, pp. 49-56, 2004.
27. Anonymous, "CuO-Fe<sub>2</sub>O<sub>3</sub> Phase Diagram", Phase Diagram for Ceramicst, ASTM. pp. 551-554, 2004.